

数理システムユーザーコンファレンス2009

脳をの秘密を数理で明らかにする — 数理脳科学への招待

甘利俊一

理化学研究所脳科学総合研究センター

数学は人類の文化である

バビロニアの数学

アラビア、中国、ギリシャ、日本の数学
ユークリッド幾何

脳の仕組み

数の概念—動物、チンパンジー
地理—ねずみ、幾何
—人間: 抽象思考

脳の仕組み

—考える喜び

抽象的思考

ゲーム、パズル

数学、文化

21世紀の科学技術

物理学 数理科学

生物科学

情報科学

人間科学

人間とは何か

社会とは何か

融合

人間の科学

心

情報

環境

エネルギー

社会

教育

物理学 大帝国

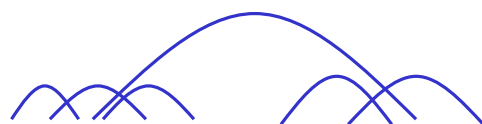
相対性理論

団体物理

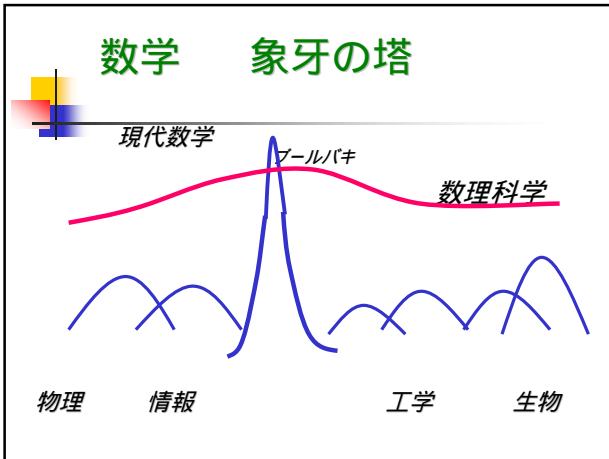
ナノテクノロジー

量子力学

エレクトロニクス



経済学 生物 科学 … 情報 数学



情報科学・工学 - Gödel・Turingの呪

電話・無線 情報理論 インターネット
サイバネティクス

真空管 コンピュータ
トランジスタ

情報化社会

人工知能・ロボット・脳
バイオインフォマティクス

生物学 — 還元主義

博物学 分子生物学 遺伝子
バイオテクノロジー

種の多様性 生命の基本原則 構造と機能

脳・システムバイオロジー

人間とは何か — 脳

思考・言語・意識
人間・社会・文明

脳科学 — 分子からシステムへ

生物学
情報科学
人間科学

脳の宇宙誌

ビッグバン: エネルギー・物質 — 天体 — 分子 (秩序)
(137億年) 物理学、化学 エネルギーとエントロピー

生命: 自己を複製し次世代に伝える物質の一形態
(36億年) 生命科学 遺伝、分子機構、自己保存

脳・神経系: 環境の情報を利用、記憶、学習、判断、行動
(5億年) 神経科学

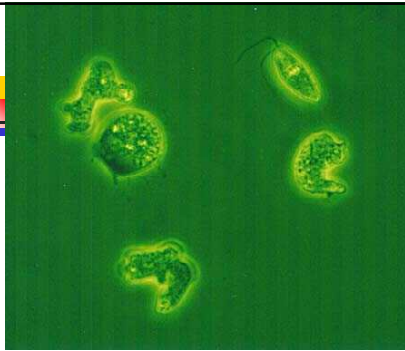
人間: 心を持ち社会に生きる生命; 文化と社会
(20万年) 脳科学、情報科学、人間科学



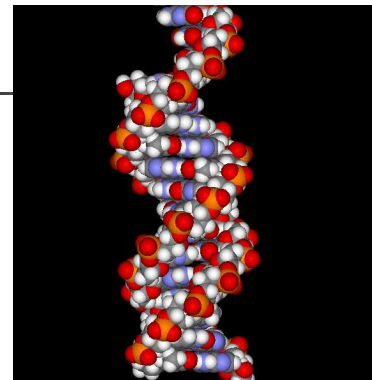
ビッグバン: エネルギー・物質 - 天体 - 分子 (秩序)
(150億年) **物理学、化学** エネルギーと
エントロピー



46億年前:
地球の誕生



生命: 自己を複製し次世代に伝える物質の一形態
(36億年) **生命科学** 遺伝、分子機構、自己保存



DNA



多細胞生物
脳・神経系: 環境の情報を利用、記憶、学習、判断、行動
(6億年) **神経科学**

類人猿、そして人間
人間: 心を持ち社会に生きる生命; 文化と社会
(20万年) **脳科学、情報科学、人間科学**



心の理論

ロボットに意識はあるか



人と共感するロボット

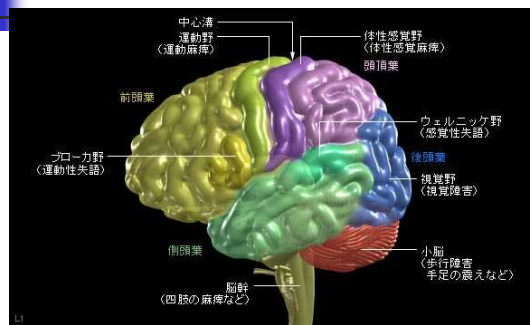
ロボットに心が持てるか？

- - 心の理論

脳神話

グルタミン
脳を鍛える、テレビ脳
モーツァルト
右脳人間
脳臨界期

脳: 大脳、海馬、小脳、脳幹



脳の働き:

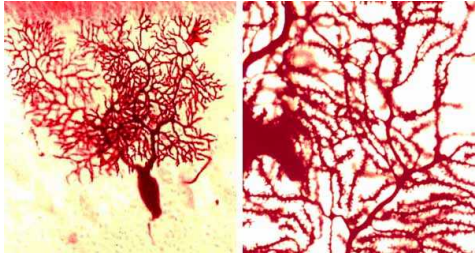
反射、認知、思考、行動
記憶、情動、心

脳 分子機械—情報機械

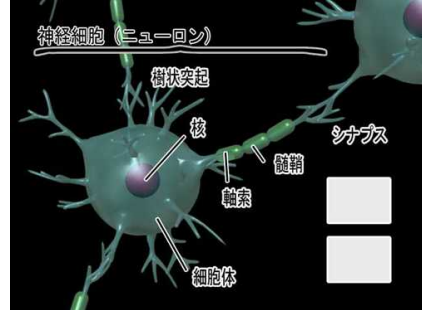
分子機械	分子	10^{-9} m
	細胞	10^{-5} m
情報機械	回路モジュール	10^{-3} m
	システム	10^{-2} m
人間・社会	個体	10^0 m
	社会	$10 \sim 10^7$ m

マイクロ世界の探検

ニューロン: 大きさ、数、シナプス結合、結合の配線



ニューロン内部 細胞、核、遺伝子



ヒトでは発達した 大脳皮質が脳幹を覆っている

ヒトの脳は哺乳類の中でも、10倍の大きさで、約100億個のニューロン、その約1兆個のシナプスによって構成されている。大脳皮質は脳幹を覆っており、高度な情報処理を実現している。

大脳皮質は、脳幹を覆っており、高度な情報処理を実現している。大脳皮質は、脳幹を覆っており、高度な情報処理を実現している。大脳皮質は、脳幹を覆っており、高度な情報処理を実現している。

神経細胞の構造

神経細胞の構造: 樹状突起、細胞体、ミトコンドリア、シナプス、軸索、鞘膜、毛細血管、神経細胞、グリア。

神経細胞の層構造 が高度な情報処理を実現する

神経細胞の層構造: 大脳皮質の層構造は、高度な情報処理を実現する。大脳皮質の層構造は、高度な情報処理を実現する。大脳皮質の層構造は、高度な情報処理を実現する。

神経細胞は細胞体、軸索、樹状突起からなる。

神経細胞の構造: 神経細胞は細胞体、軸索、樹状突起からなる。神経細胞は細胞体、軸索、樹状突起からなる。神経細胞は細胞体、軸索、樹状突起からなる。

脳研究

- 脳を知る領域 ……人間とは何か
人間から社会へ
- 脳を守る領域 ……脳疾患・老化
精神障害
- 脳を創る領域 ……脳の理解
脳型情報技術
- 脳を育む領域 ……教育・学習

脳を創る領域の戦略

— 神経科学と情報科学の融合

脳の情報処理原理



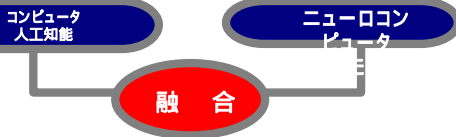
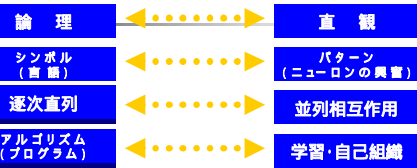
脳型の情報モデル

モデル・理論・技術

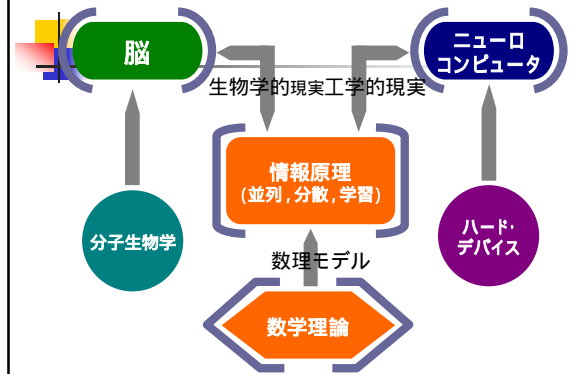
システムバイオロジー, ニューロインフォーマティクス

脳の数理情報科学

人間の思考



脳の情報原理解明への道



脳の情報原理

- 分散表現 ——— 記号表現
- 協調・競合の時空間パターンダイナミクス
——— 論理による推論
- 学習・自己組織化・記憶 ——— プログラム
- 意思・感情・意識 ——— ?

心、意識とは何か

脳とコンピュータ

- プログラムを管理するプログラム
- 社会的存在としての人間
- コミュニケーション: 意図、状態

言語と意識の発生

並列計算システムと意識

脳と機械の直結

brain-machine interface

脳の状態の読み取り:

計算、決定、意識、心、行動
機械の操作: 義足、タイプ、制御

脳への直接入力

脳の操作——幸福?

脳を読む

脳の指令で機械を動かす

ニューロ経済学
ニューロ商品学

脳への入力

脳を創る領域

理論による解明

計算論的神経科学

作る事によって知る

情報システムの創造

脳型情報論

システム・デバイス

脳の情報数理論学

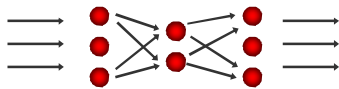
脳型情報数理論学の確立

脳の計算原理 コンピュータ

ロボット工学・人工知能との融合

脳理論・脳モデルとは

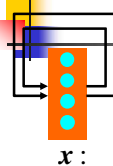
認知モデルパーセプトロン



分散表現
学習・情報幾何
次元の呪

$$y = \sum v_i \phi(w_i \cdot x)$$

ダイナミクスと決定



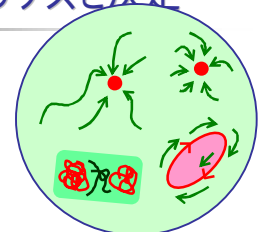
x :

$$x_{t+1} = f(x_t; \theta)$$

$$\frac{dx(t)}{dt} = f(x; \theta)$$

アトラクター

安定点
安定軌道
カオス



記憶
決定
実数計算論へ
パルス計算

近似

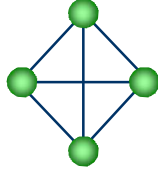
記憶モデル

● ダイナミクス

● 多重・想起

$$\dot{x} = f(Wx)$$

● コンピュータ



記憶と学習

海馬の働き: HM
学習機械

思考・決定のモデル

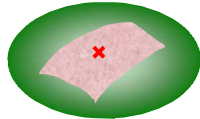
● ニューロダイナミクス

$$\dot{x} = f(Wx, s)$$

● 多安定・カオス

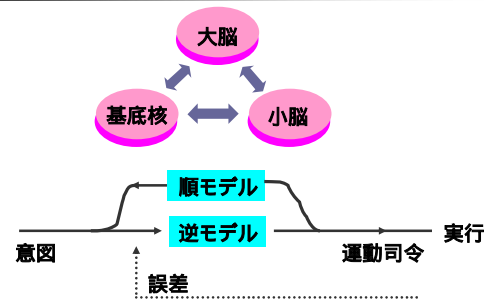
● 探索・巡回セールスマン問題

● 最適計画

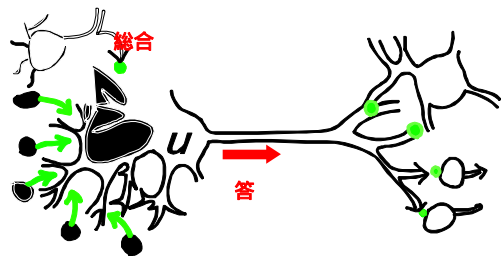


運動制御機構

強化学習

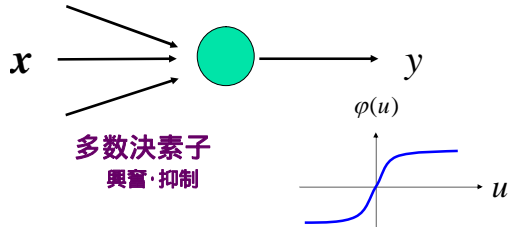


神経細胞のモデル



ニューロンの数理モデル

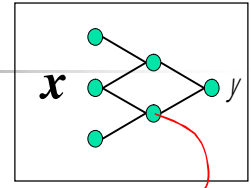
$$y = \varphi(\sum w_i x_i - h) = \varphi(\mathbf{w} \cdot \mathbf{x})$$



多層パーセプトロン

$$y = \sum v_i \varphi(\mathbf{w}_i \cdot \mathbf{x}) + n$$

$$\mathbf{x} = (x_1, x_2, \dots, x_n)$$



$$f(\mathbf{x}, \boldsymbol{\theta}) = \sum v_i \varphi(\mathbf{w}_i \cdot \mathbf{x})$$

$$\boldsymbol{\theta} = (\mathbf{w}_1, \dots, \mathbf{w}_m; v_1, \dots, v_m)$$

Multilayer Perceptron

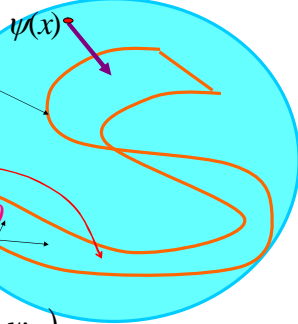
神経多様体

関数空間

$$y = f(\mathbf{x}, \boldsymbol{\theta})$$

$$= \sum v_i \varphi(\mathbf{w}_i \cdot \mathbf{x})$$

$$\boldsymbol{\theta} = (v_1, \dots, v_m; \mathbf{w}_1, \dots, \mathbf{w}_m)$$



万能関数近似系

$$\psi(\mathbf{x}) \approx \sum_{i=1}^N v_i a_i(\mathbf{x})$$

$$\psi(\mathbf{x}) \approx \sum_{i=1}^m v_i \varphi_i(\mathbf{x})$$

$$\varphi_i(\mathbf{x}) = \varphi(\mathbf{w}_i \cdot \mathbf{x})$$

次元の呪い

$$\sum v_i a_i(\mathbf{x}) \dots N \approx \left(\frac{1}{\varepsilon}\right)^d \quad \text{固定基底系}$$

$$\sum v_i \varphi(\mathbf{w}_i \cdot \mathbf{x}) \dots N \approx c(d) \left(\frac{1}{\varepsilon}\right)^{\frac{1}{2}}$$

学習

可変基底系

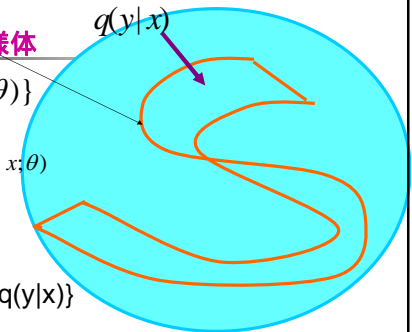
Multilayer Perceptron

神経多様体

$$M = \{p(y|x; \boldsymbol{\theta})\}$$

$$p(y, x; \boldsymbol{\theta}) = q(x)p(y|x; \boldsymbol{\theta})$$

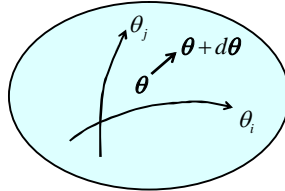
space of $\{q(y|x)\}$



リーマン多様体

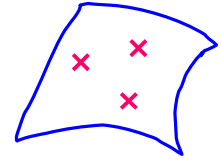
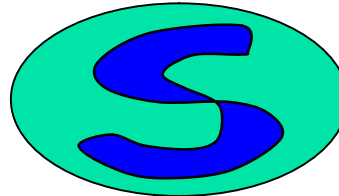
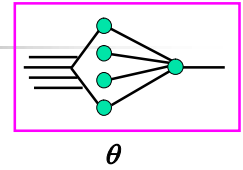
$$g_{ij}(\theta) = E\left[\frac{\partial \log p(y|x;\theta) \partial \log p(y|x;\theta)}{\partial \theta_i \partial \theta_j}\right]$$

$$\begin{aligned} ds^2 &= |d\theta|^2 \\ &= \sum g_{ij}(\theta) d\theta_i d\theta_j \\ &= d\theta^T G(\theta) d\theta \end{aligned}$$



神経多様体

- 計量構造
- 位相構造



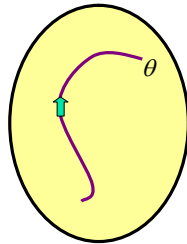
Backpropagation --- 勾配学習法

例題: $(y_1, x_1), \dots, (y_t, x_t)$ --- training set

$$\begin{aligned} E(y, x; \theta) &= \frac{1}{2} |y - f(x, \theta)|^2 \\ &= -\log p(y, x; \theta) \end{aligned}$$

$$\Delta \theta_t = -\eta_t \frac{\partial E}{\partial \theta}$$

$$f(x, \theta) = \sum v_i \varphi(w_i \cdot x)$$



Backprop の問題点

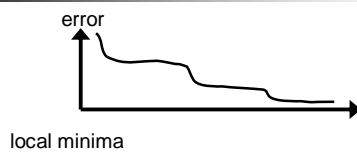
- 収束が遅い --- plateau --- saddle
- 多数の局所解

$$\Delta \theta_t = -\eta_t \nabla l(x_t, y_t; \theta_t)$$



MLP の欠点

slow convergence : Plateaus



local minima



→ Boosting and Bagging

MLP の情報幾何

Natural Gradient Learning :
S. Amari ; H.Y. Park

$$\Delta \theta = -\eta G^{-1}(\theta) \frac{\partial l}{\partial \theta}$$

$$G_{t+1}^{-1} = (1 + \varepsilon) G_t^{-1} - \varepsilon G_t^{-1} \nabla f \nabla f^T G_t^{-1}$$

Computational Experiments

Mackey-Glass time series prediction

— generation of time series — $x(t+1) = (1-b)x(t) + a \frac{x(t-\tau)}{1+x(t-\tau)^{10}}$

— input : 4 previous values ;
 $x(t-18), x(t-12), x(t-6), x(t)$

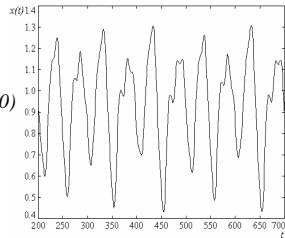
— output : 1 future value ; $x(t+6)$

— learning data : 500 ($t=200, \dots, 700$)

— test data : 500 ($t=5000, \dots, 5500$)

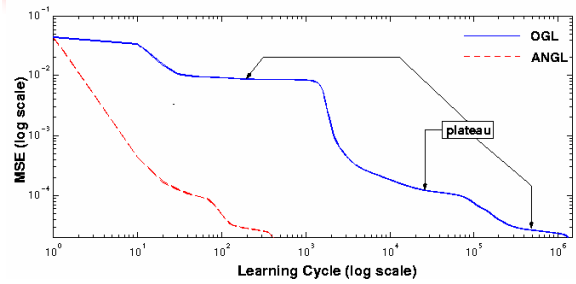
— Network Structure

4 inputs -- 10 hidden -- 1 output



Computational Experiments

Learning Curves of Mackey-Glass

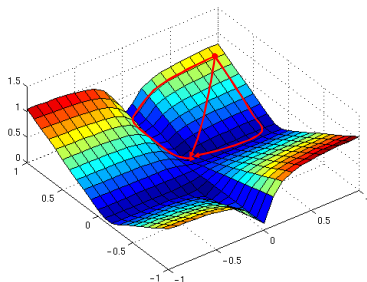


OGL : Ordinary Gradient Descent (Backpropagation)

ANGL : Adaptive Natural Gradient Descent

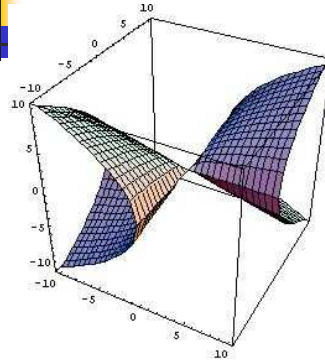
パーセプトロンの幾何学

Which path is faster?

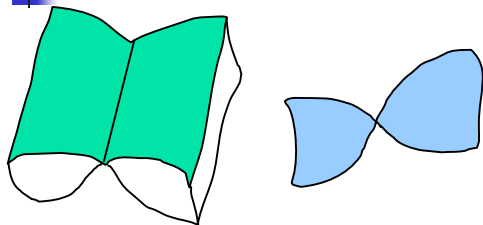


An Error surface of Simple MLP

MLP の特異点---example

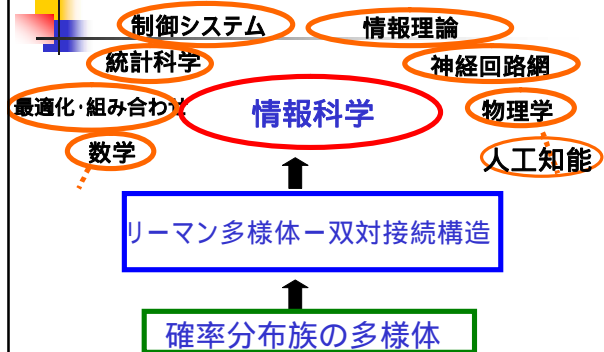


singularities—特異点



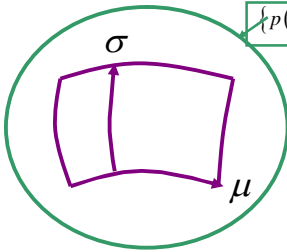
微分幾何—代数幾何

情報幾何



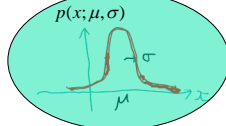
情報幾何とは？

$$S = \{p(x; \mu, \sigma)\} \quad p(x; \mu, \sigma) = \frac{1}{\sqrt{2\pi}\sigma} \exp\left\{-\frac{(x-\mu)^2}{2\sigma^2}\right\}$$



$$S = \{p(x; \theta)\}$$

リーマン幾何
双対アフィン接続



アフィン接続

affine connection

共変微分

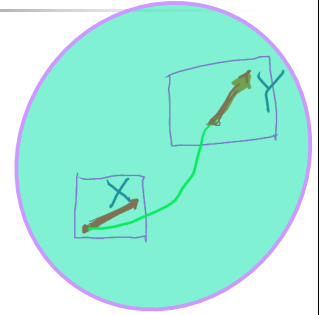
$$\Pi_c X = Y$$

$$\text{測地線 } \Pi \dot{X} = \dot{X} \quad X = X(t)$$

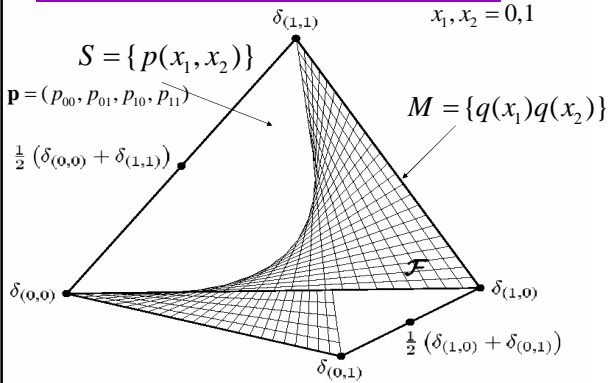
$$s = \int \sqrt{\sum g_{ij}(\theta) d\theta^i d\theta^j}$$

minimal distance

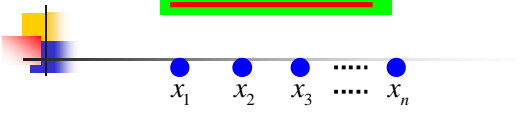
straight line



独立な確率分布のつくる空間



ニューロンの発火



$$p(\mathbf{x}) = p(x_1, x_2, \dots, x_n)$$

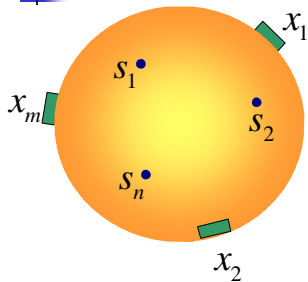
$$\eta_i = E[x_i] \quad \text{---firing rate: 発火率}$$

$$v_{ij} = \text{Cov}[x_i, x_j] \quad \text{---covariance: 相関}$$

higher-order correlations: 高次相関

orthogonal decomposition: 直交分解

信号の混合と分解



生体情報解析
カクテルパーティ効果
移動体通信
画像解析

ガウス雑音

$$\mathbf{x}_t = A\mathbf{s}_t + \mathbf{n}_t$$

推定関数法

空間混合

$$\begin{cases} x_1 = a_1 s_1 + \dots + a_n s_n \\ x_2 = a_1 s_1 + \dots + a_n s_n \\ \dots \end{cases}$$

$$\mathbf{x} = \mathbf{A}\mathbf{s}$$

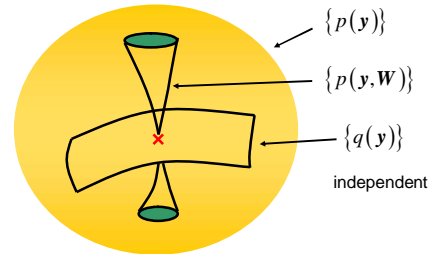
時間混合

$$x(t) = a_1 s(t) + a_2 s(t-1) + \dots + a_n s(t-n)$$

$$\mathbf{x}(t) = \int \mathbf{A}(t-\tau) \mathbf{s}(\tau) d\tau$$

Information Geometry of ICA ---Independent Component Analysis

$$\mathbf{x} = \mathbf{A}\mathbf{s} \Rightarrow \mathbf{y} = \mathbf{W}\mathbf{x}$$



研究人生

- 10代: 暗中模索
- 20代: 無我夢中
- 30代: 先鋭的創意
- 40代: 実力十分
- 50代: 円熟
- 60代: 道楽
- 70代: ?

私の時代

---幸運な時代?

これからの時代